

FIG. 1

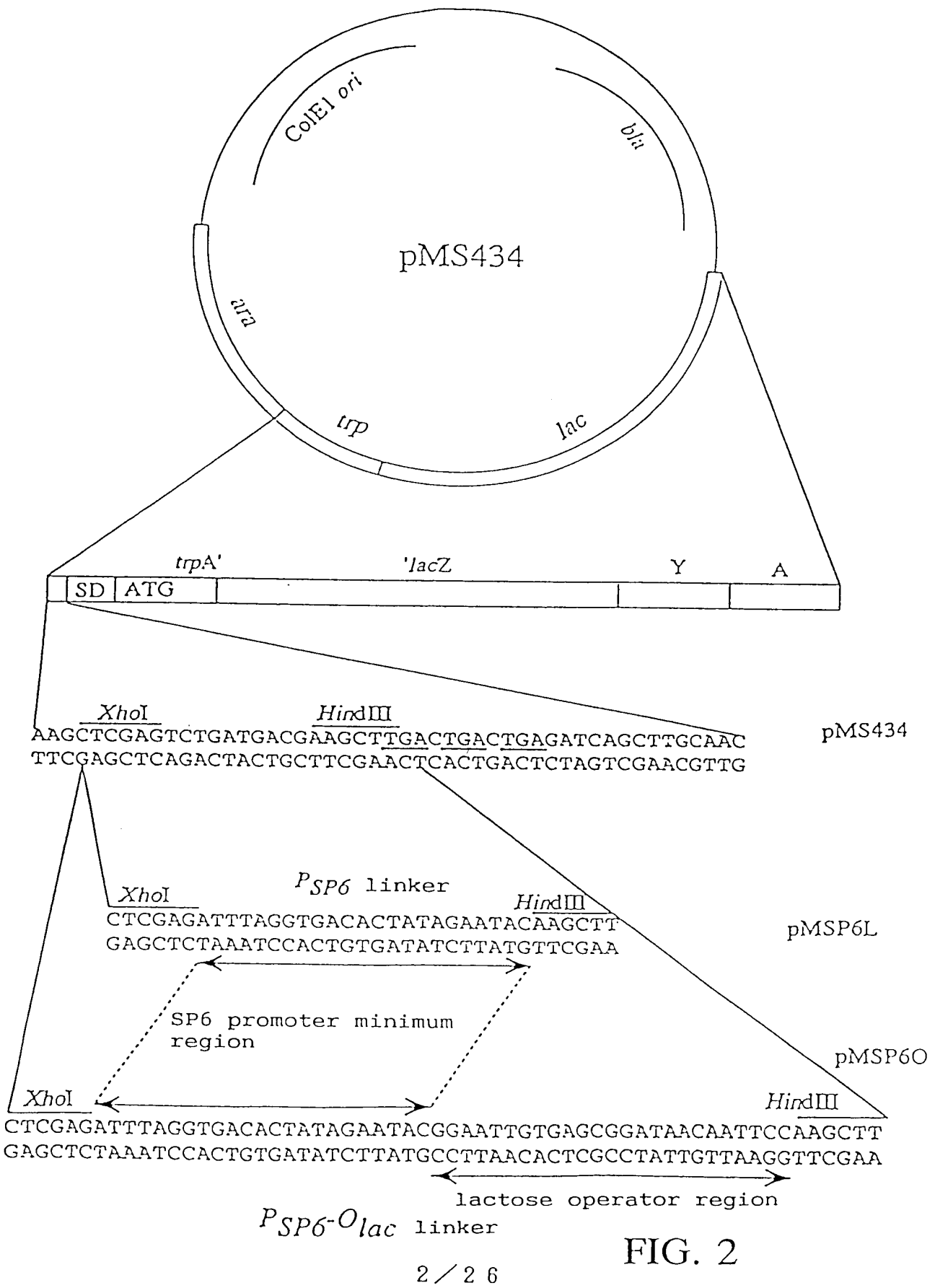
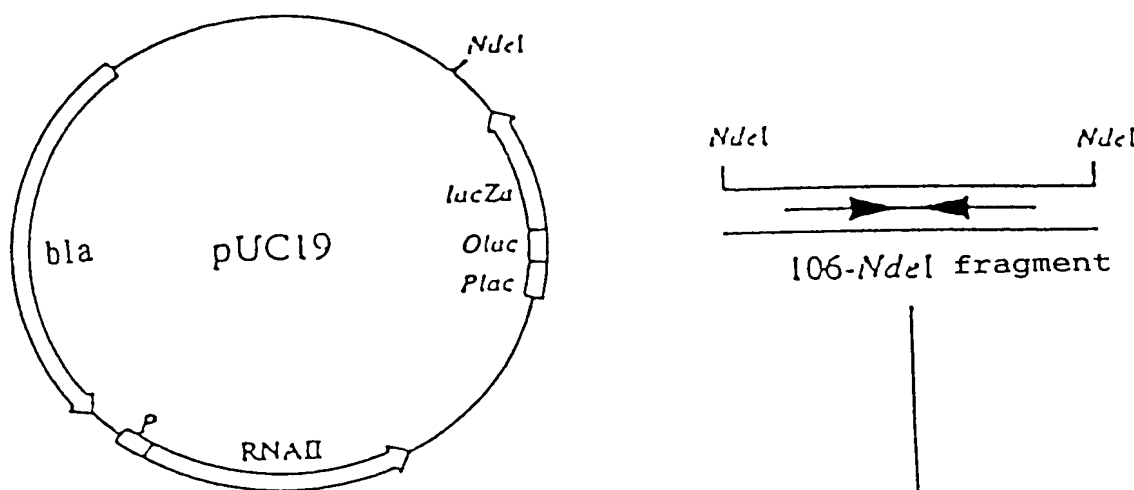
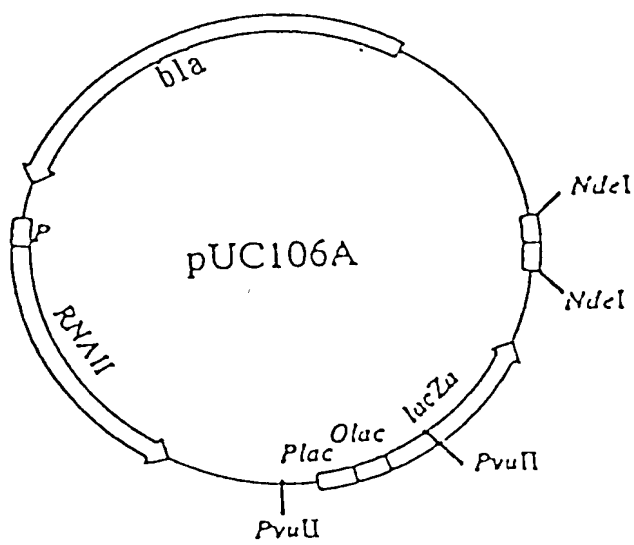


FIG. 2



NdeI digestion



PvuII digestion
intramolecular ligation

pUC106AdPO

FIG. 3 A

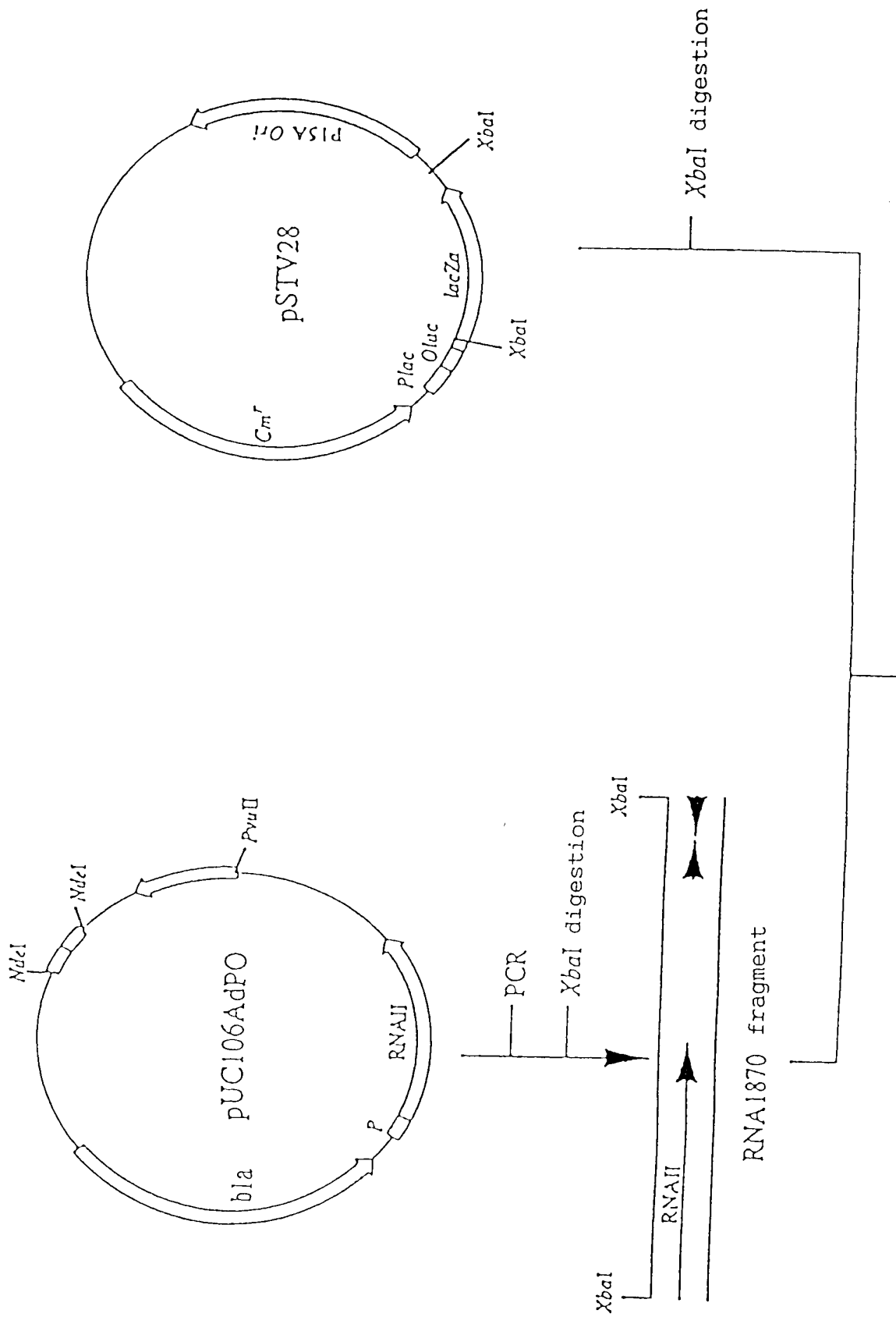


FIG. 3 B

pHS2870

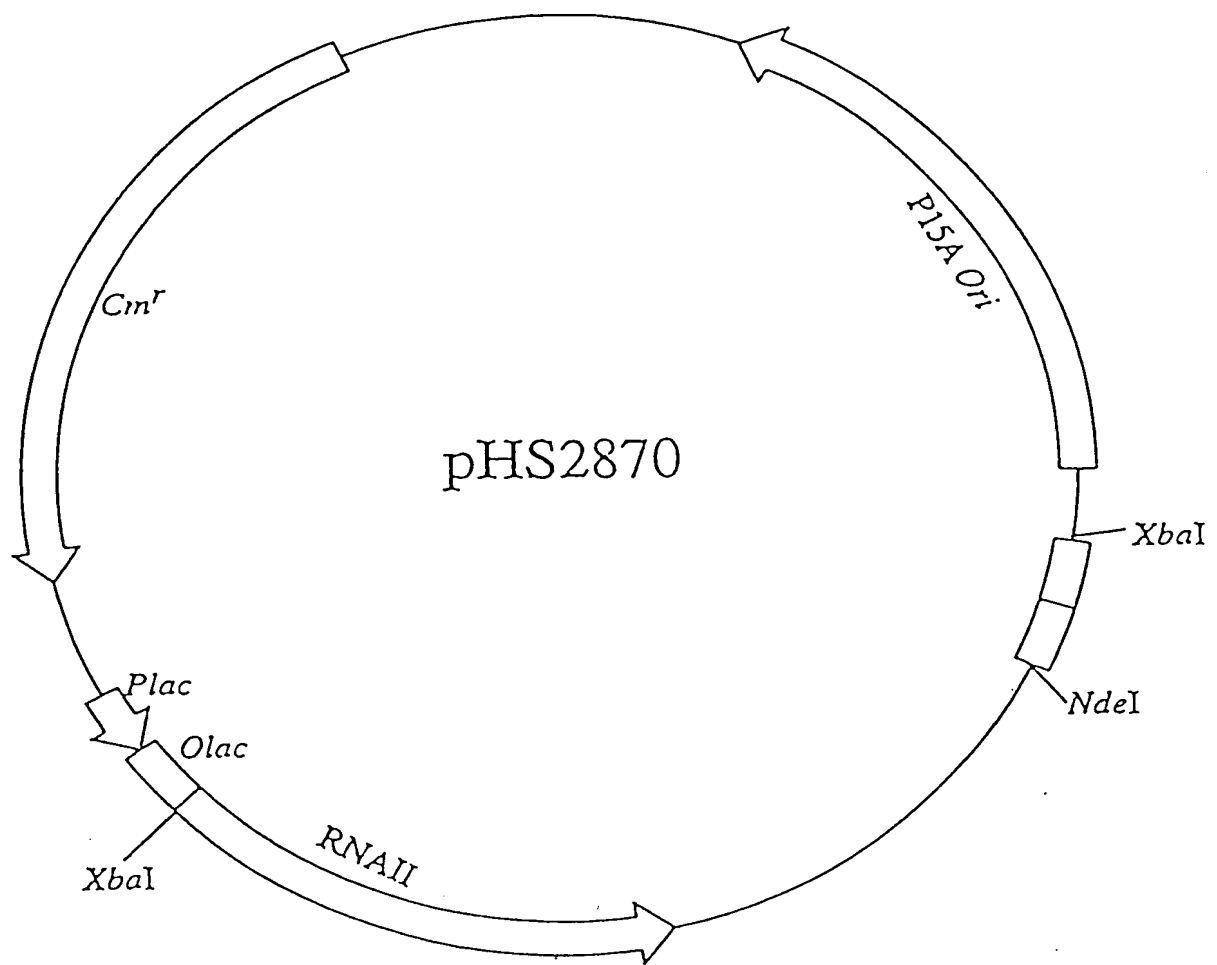
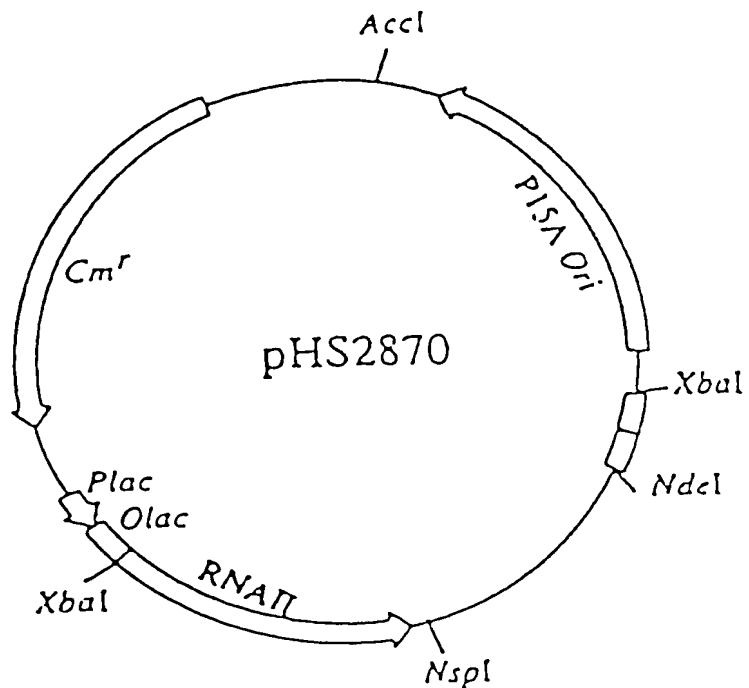


FIG. 4



↓
 AccI-NspI digestion
 formation of blunt-ends
 intramolecular ligation

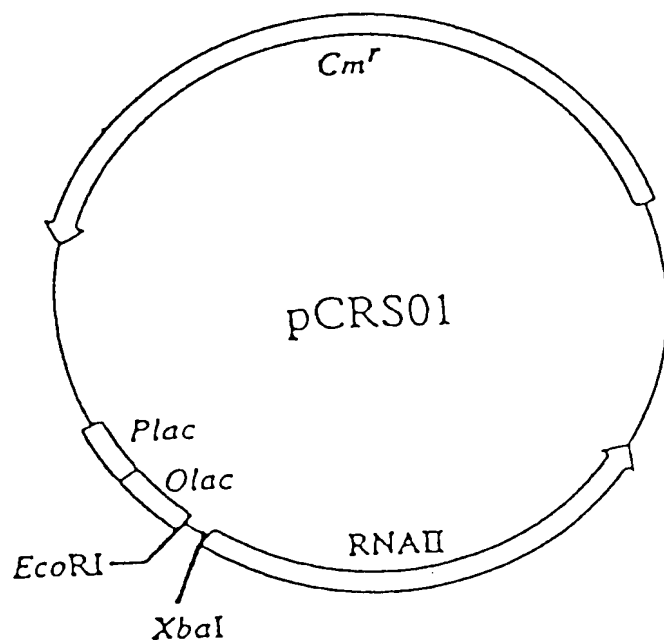


FIG. 5 A

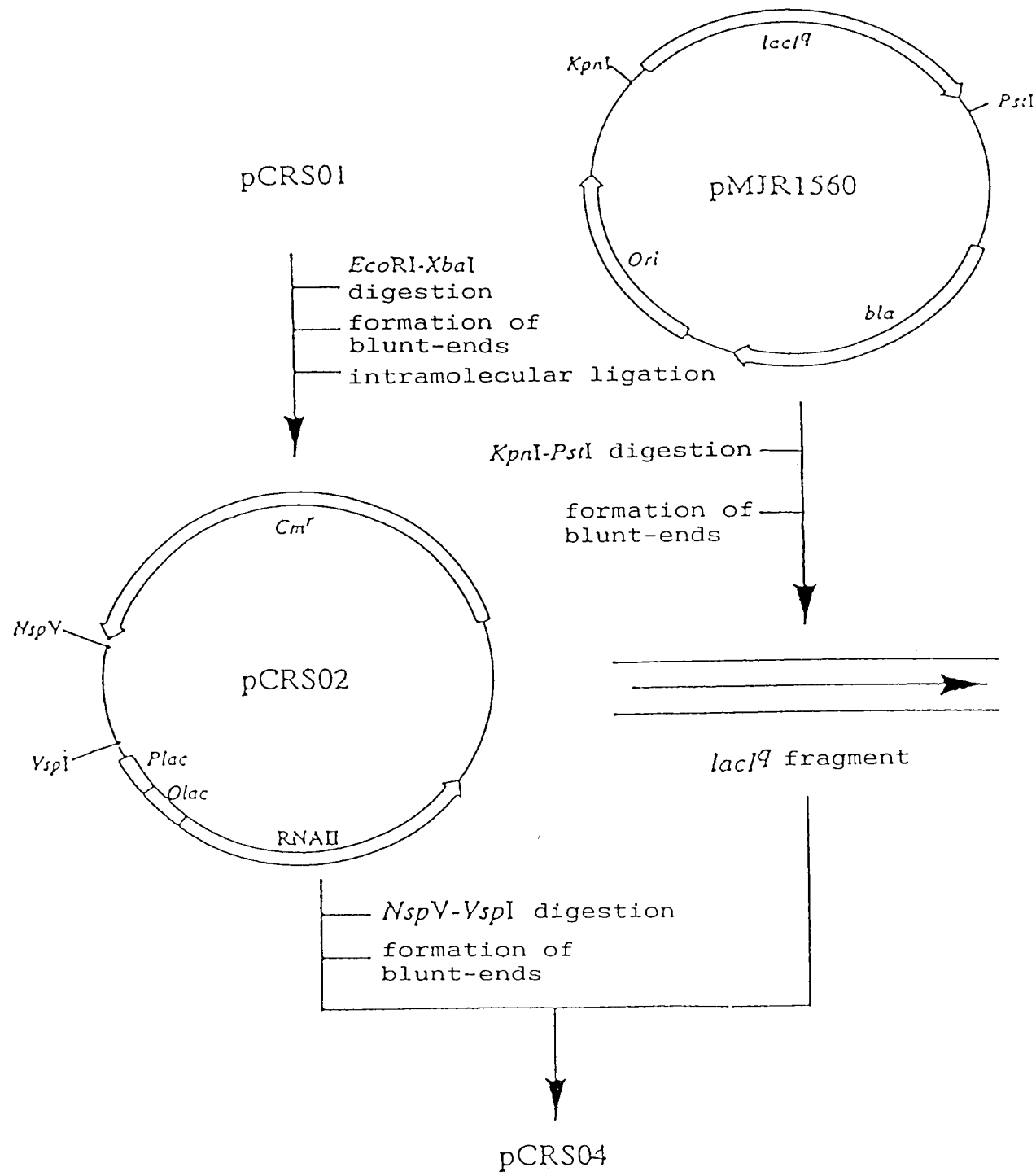


FIG. 5 B

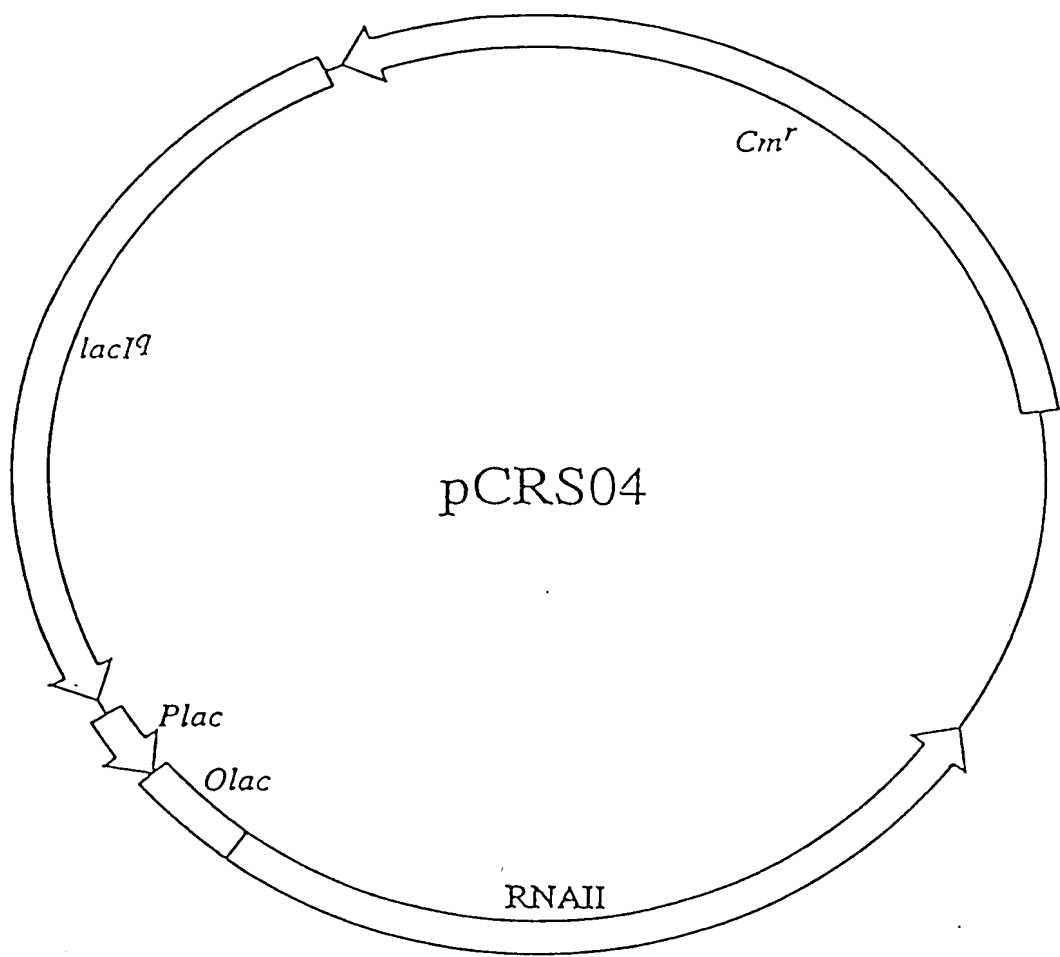


FIG. 6

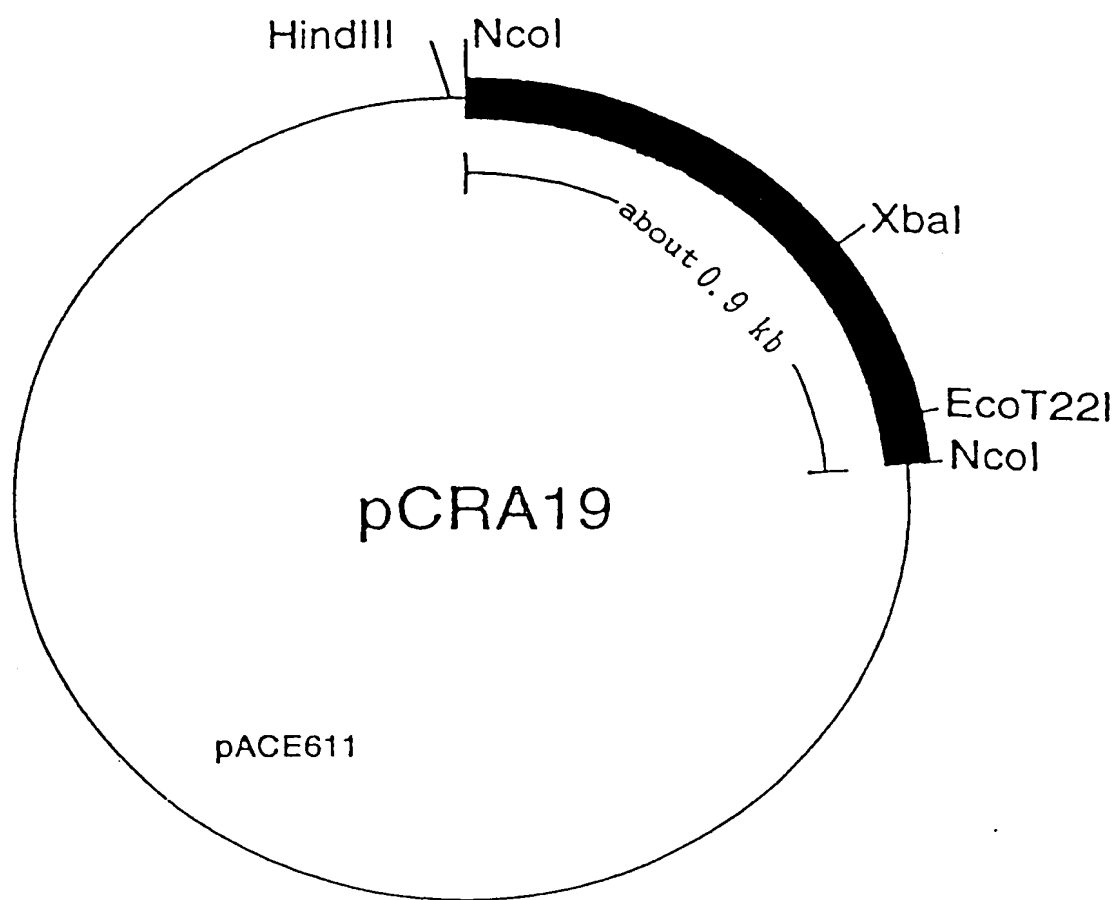


FIG. 7

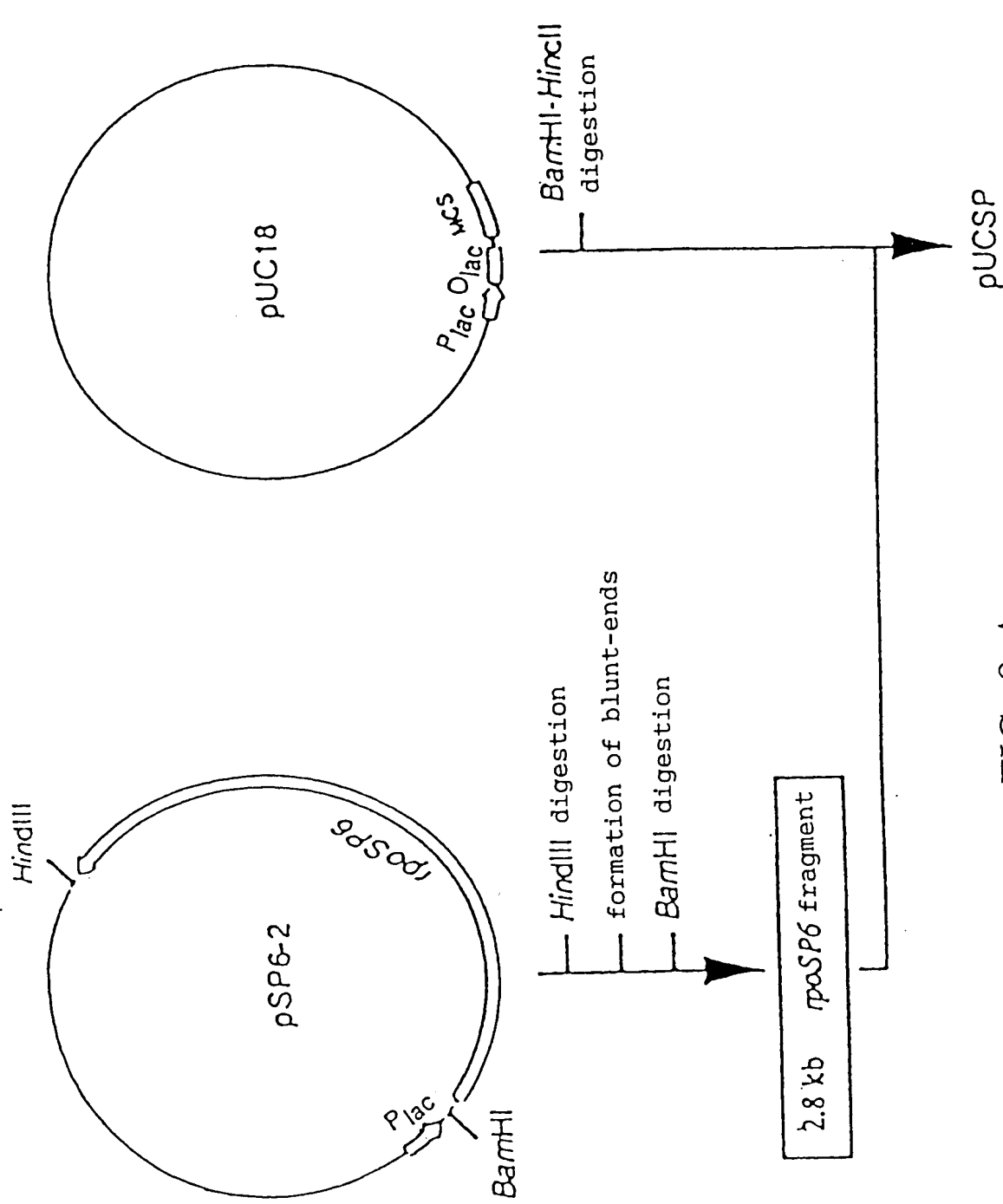


FIG. 8 A

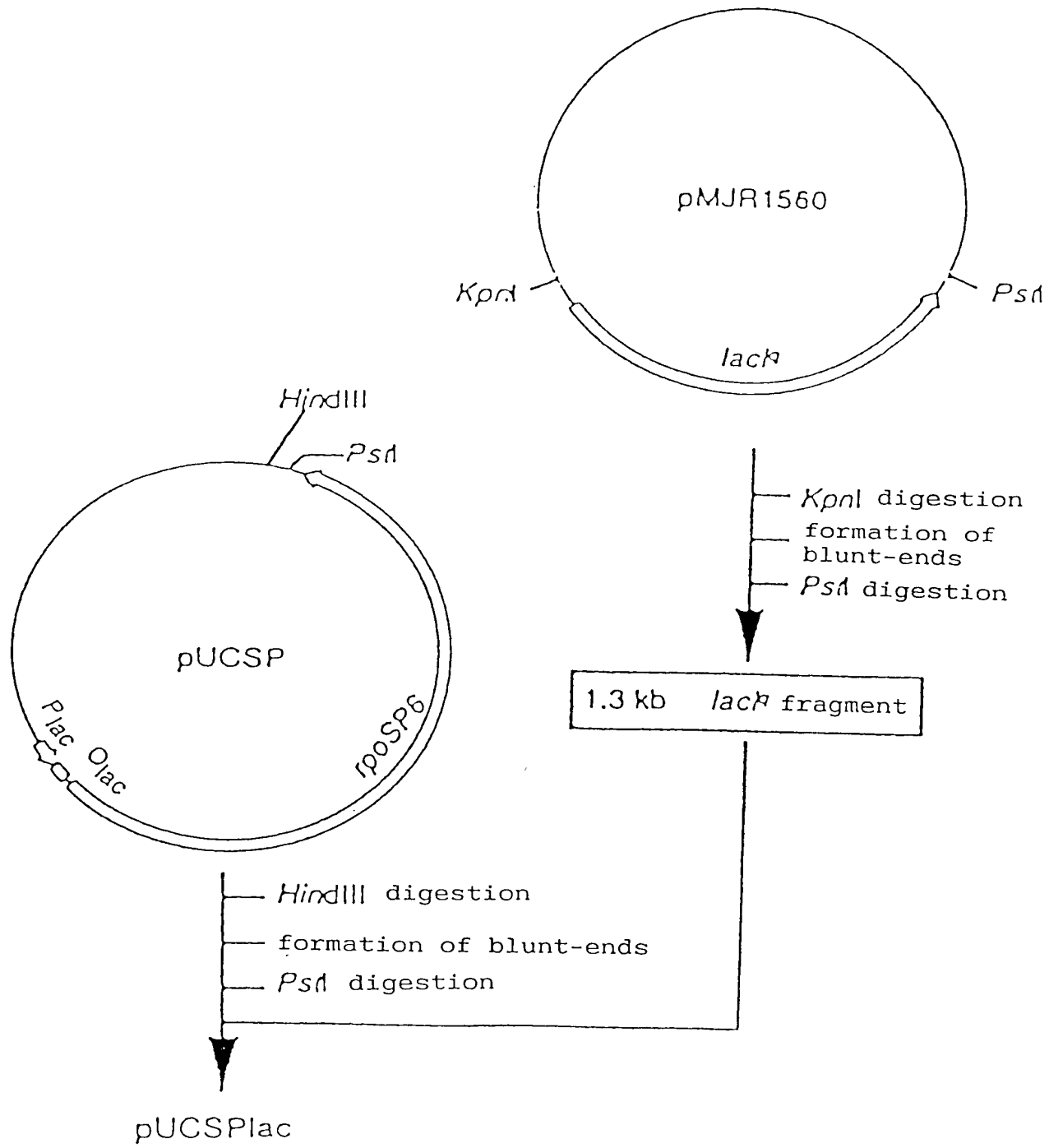


FIG. 8 B

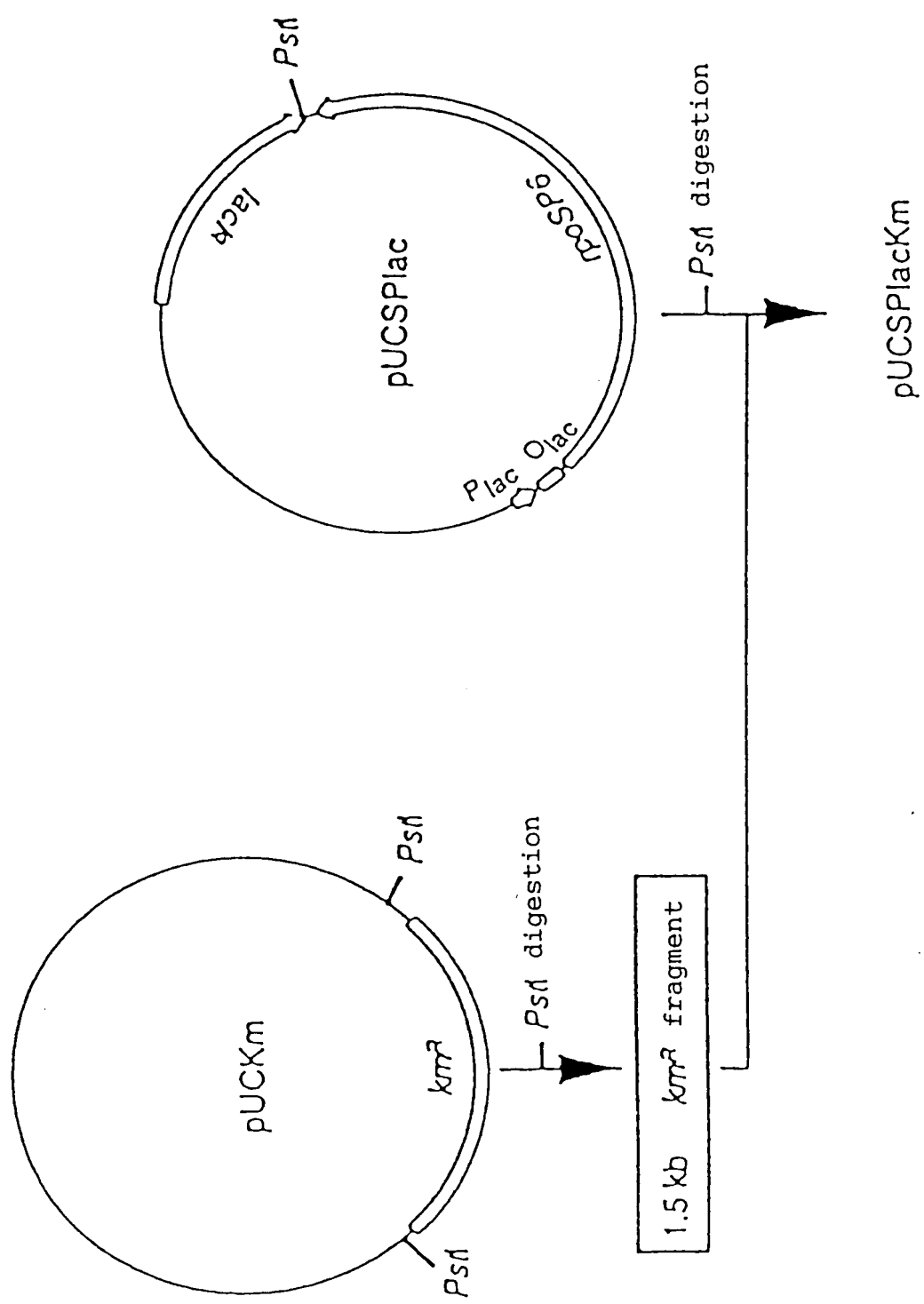


FIG. 8 C

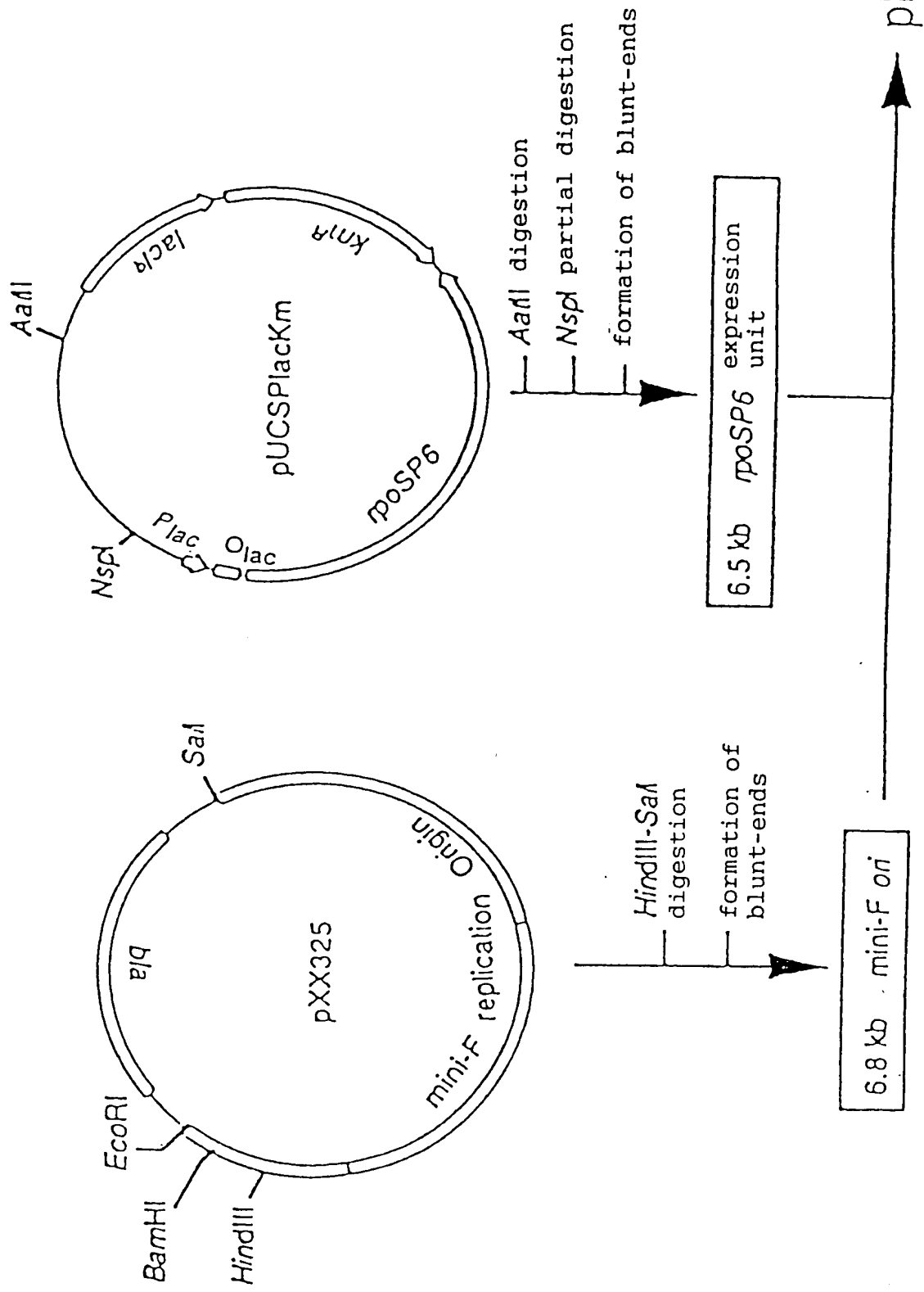


FIG. 8 D

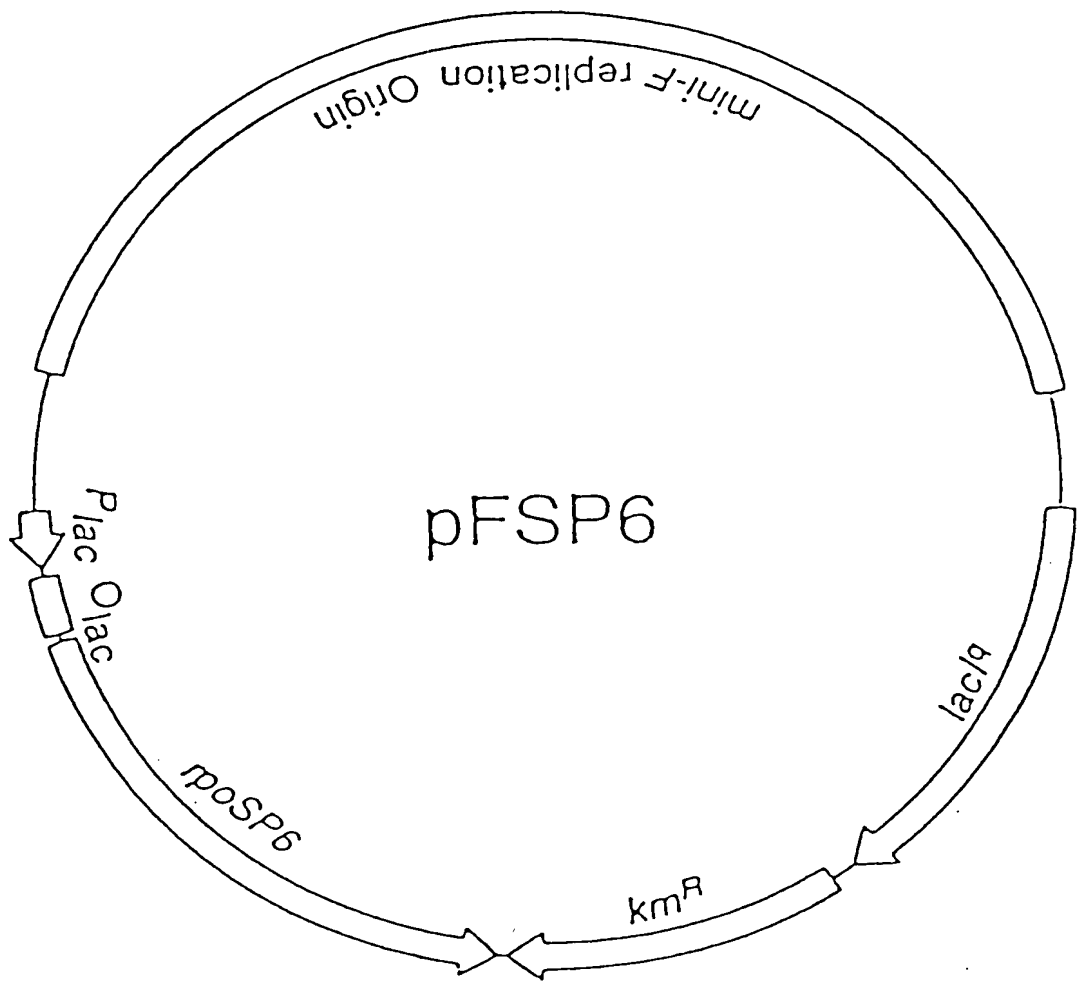


FIG. 8 E

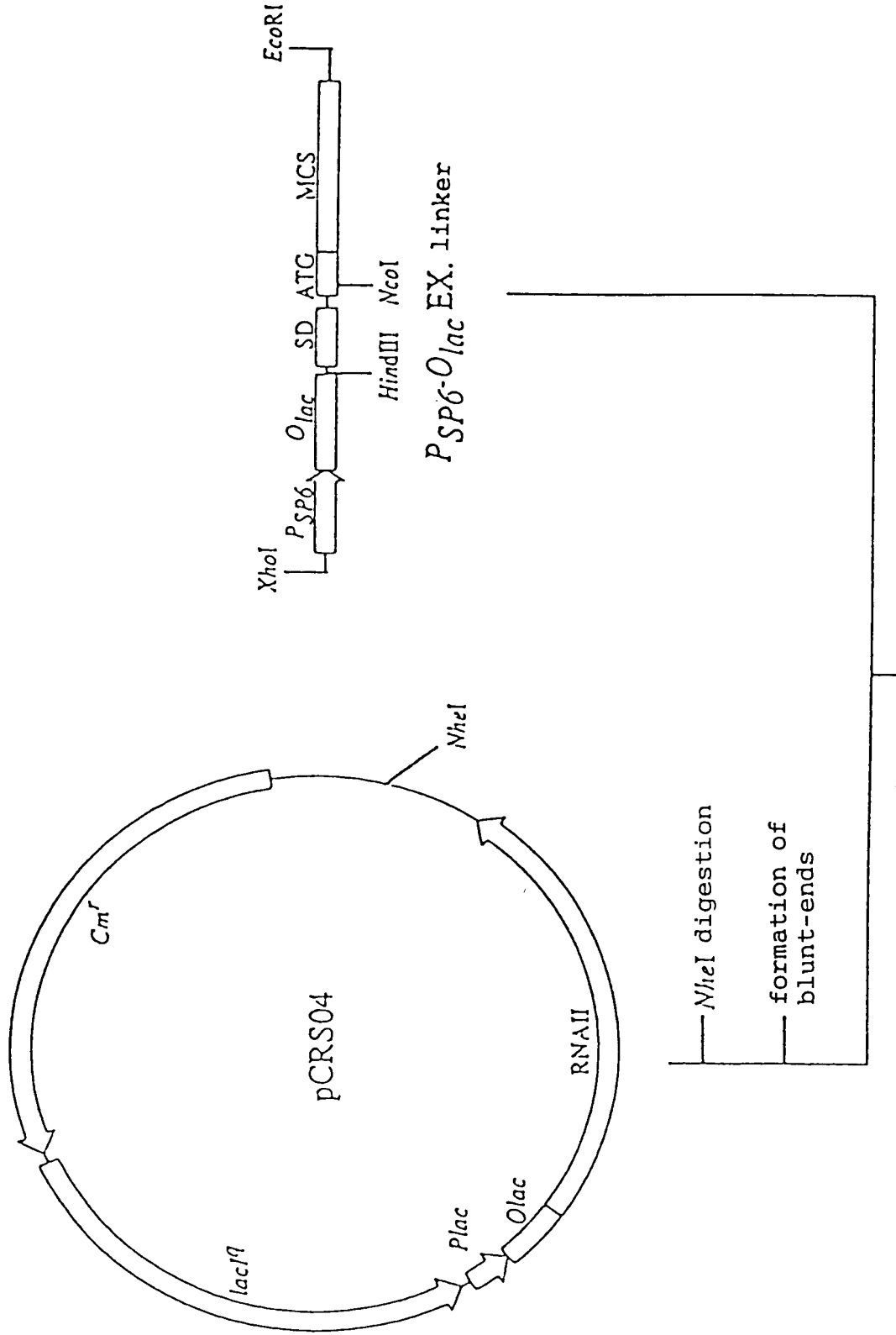


FIG. 9 A

pACE601

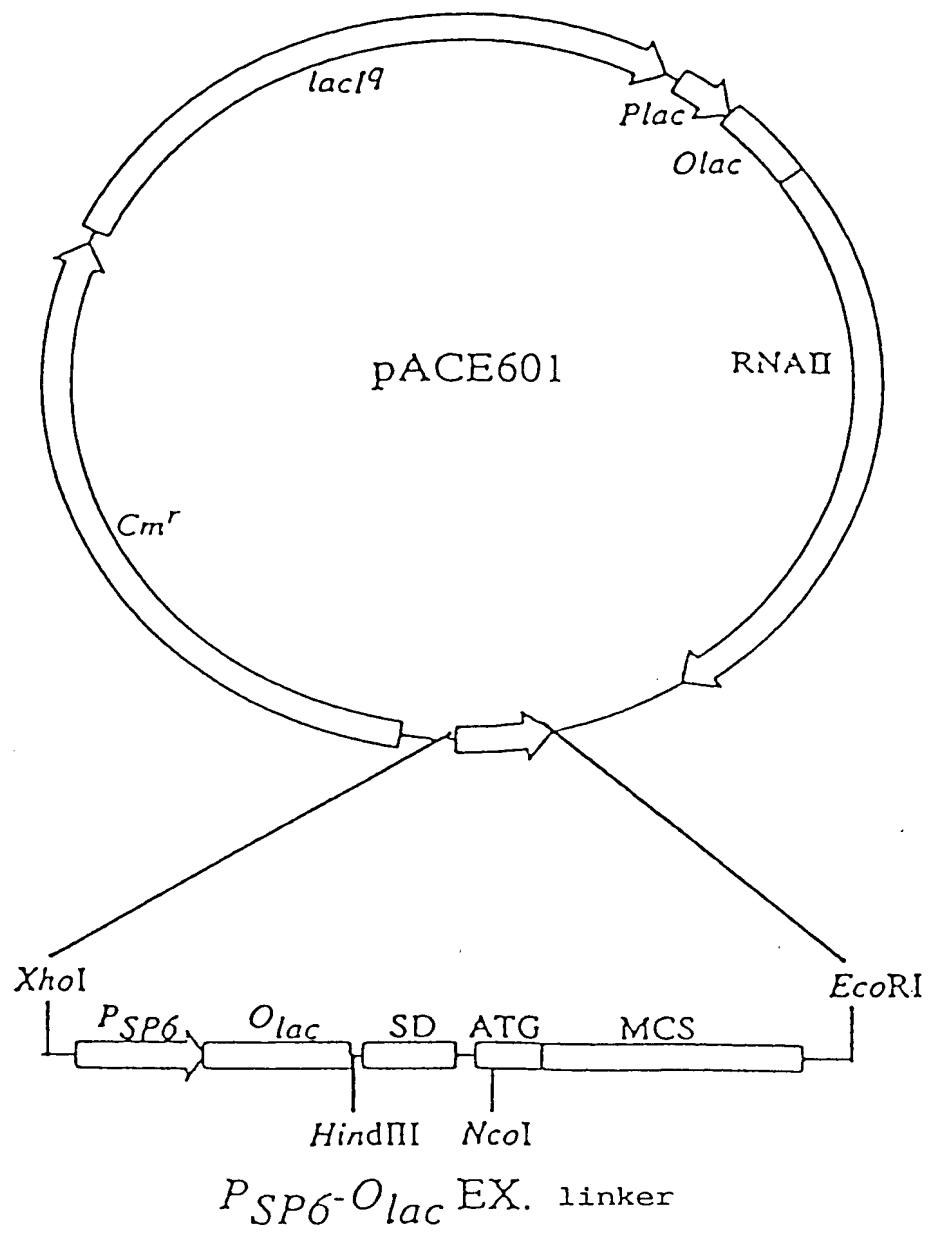


FIG. 9 B

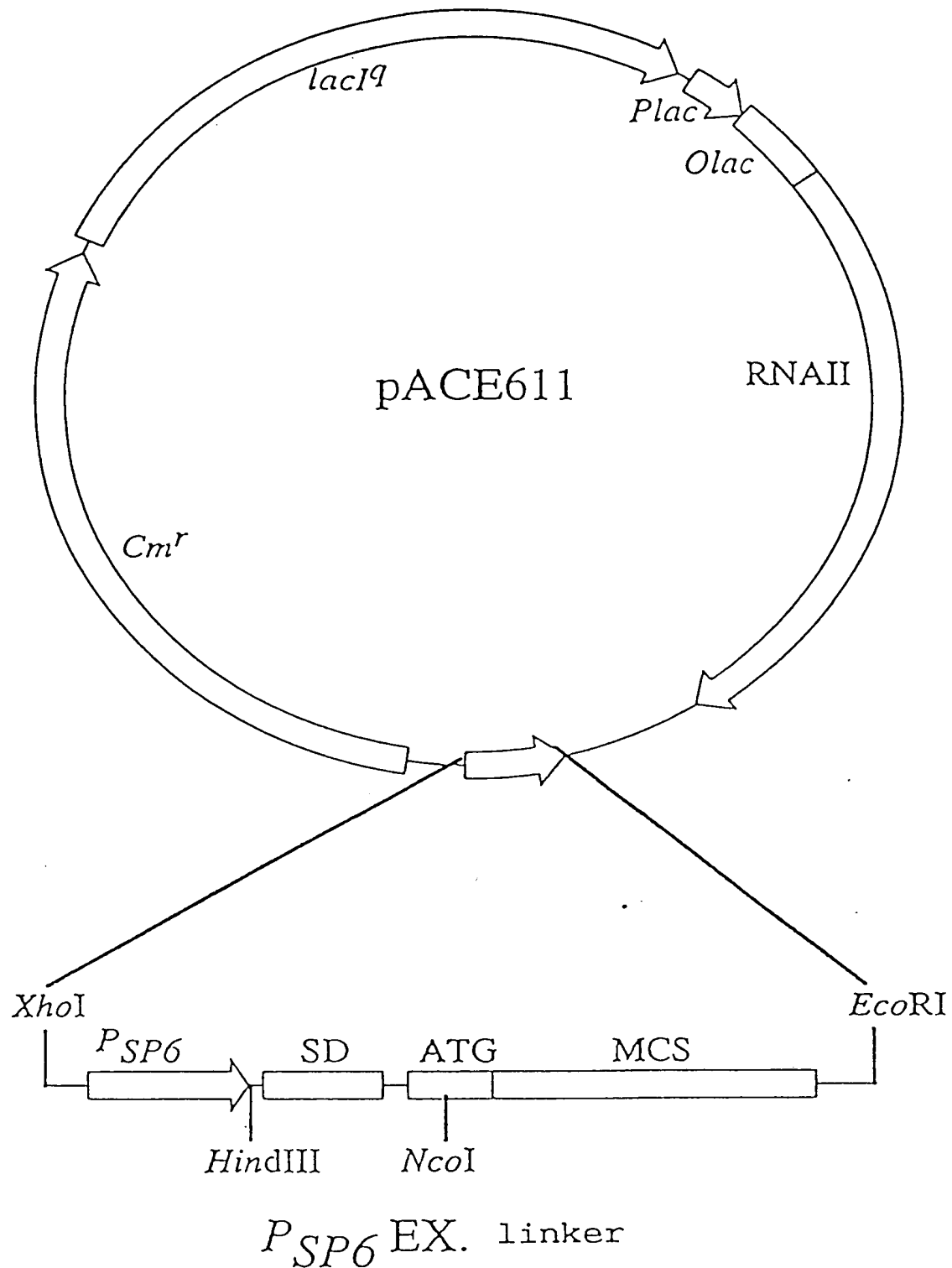


FIG. 10

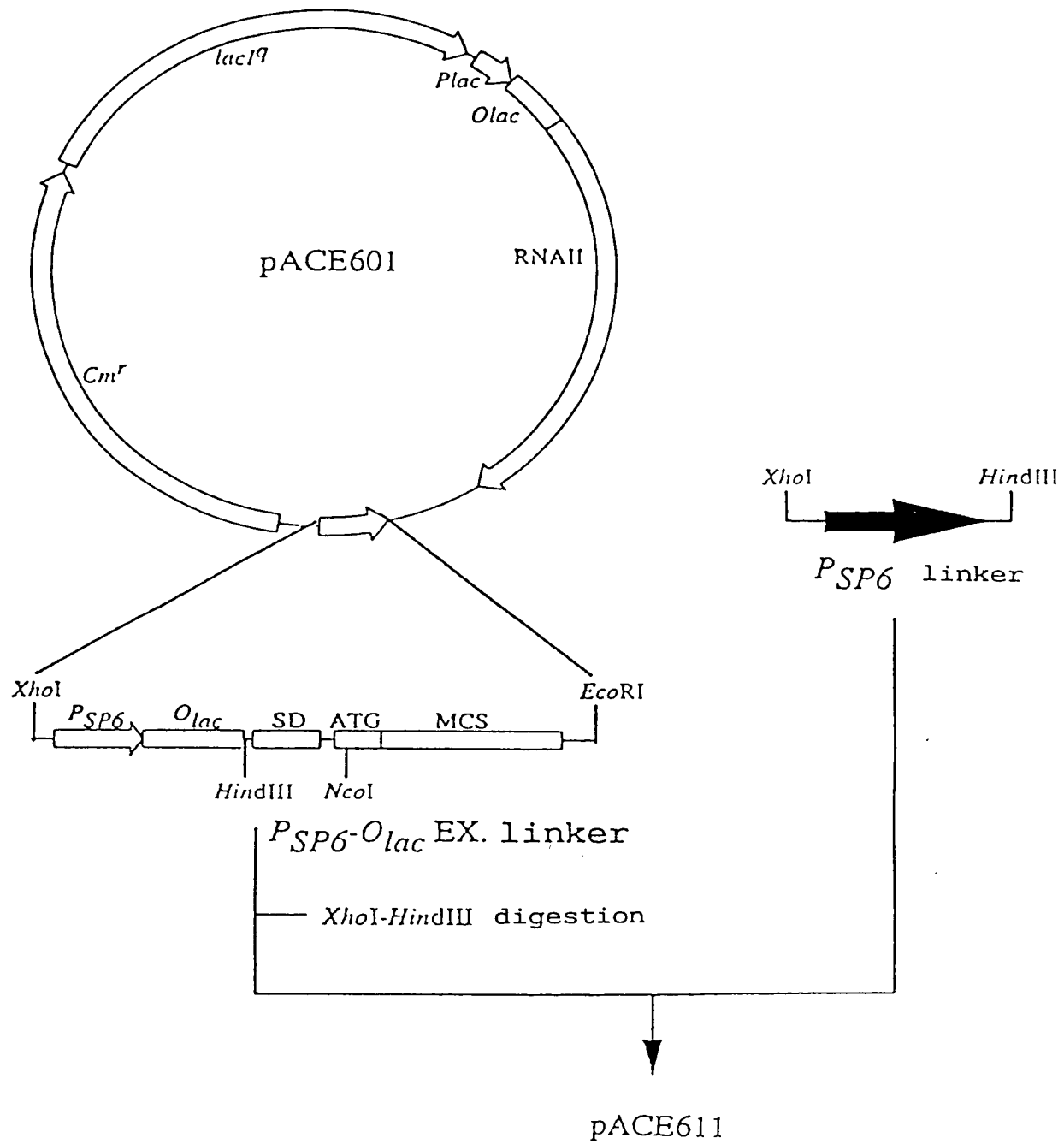


FIG. 11 A

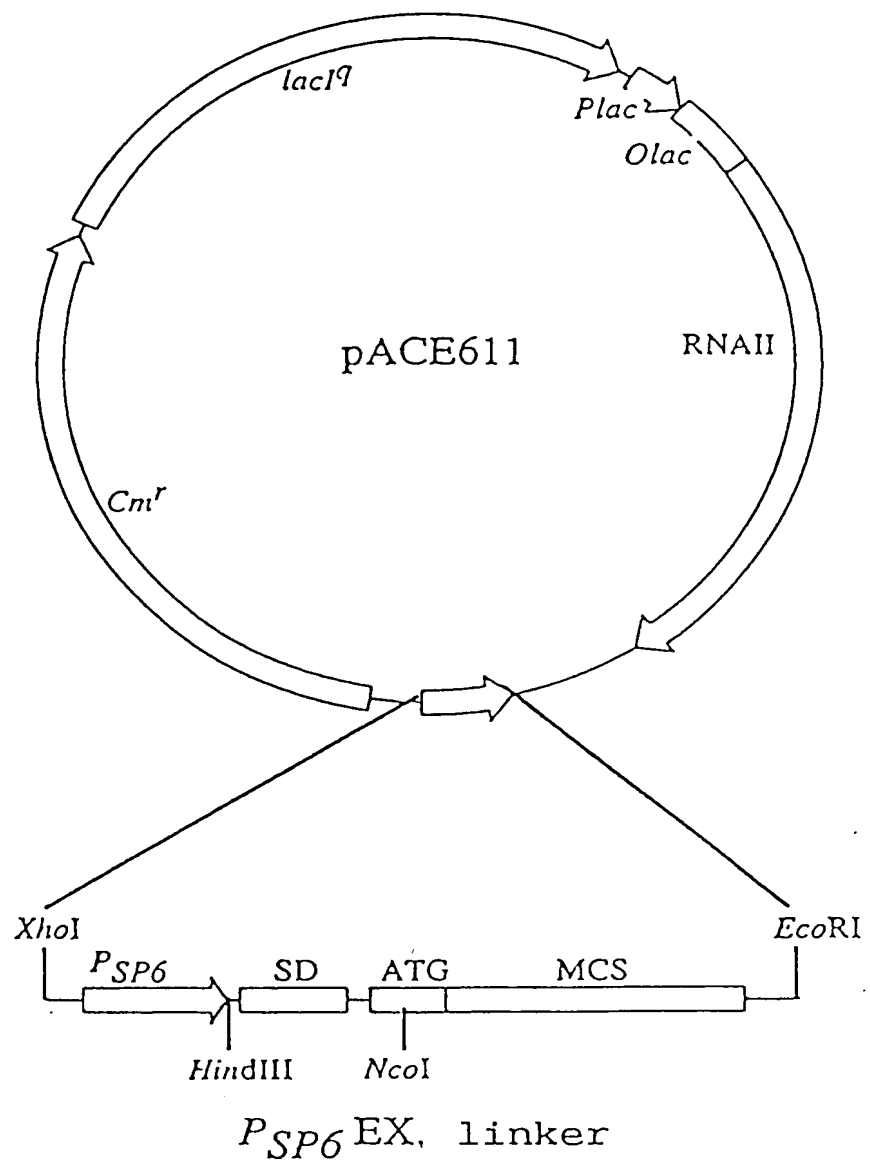


FIG. 11 B

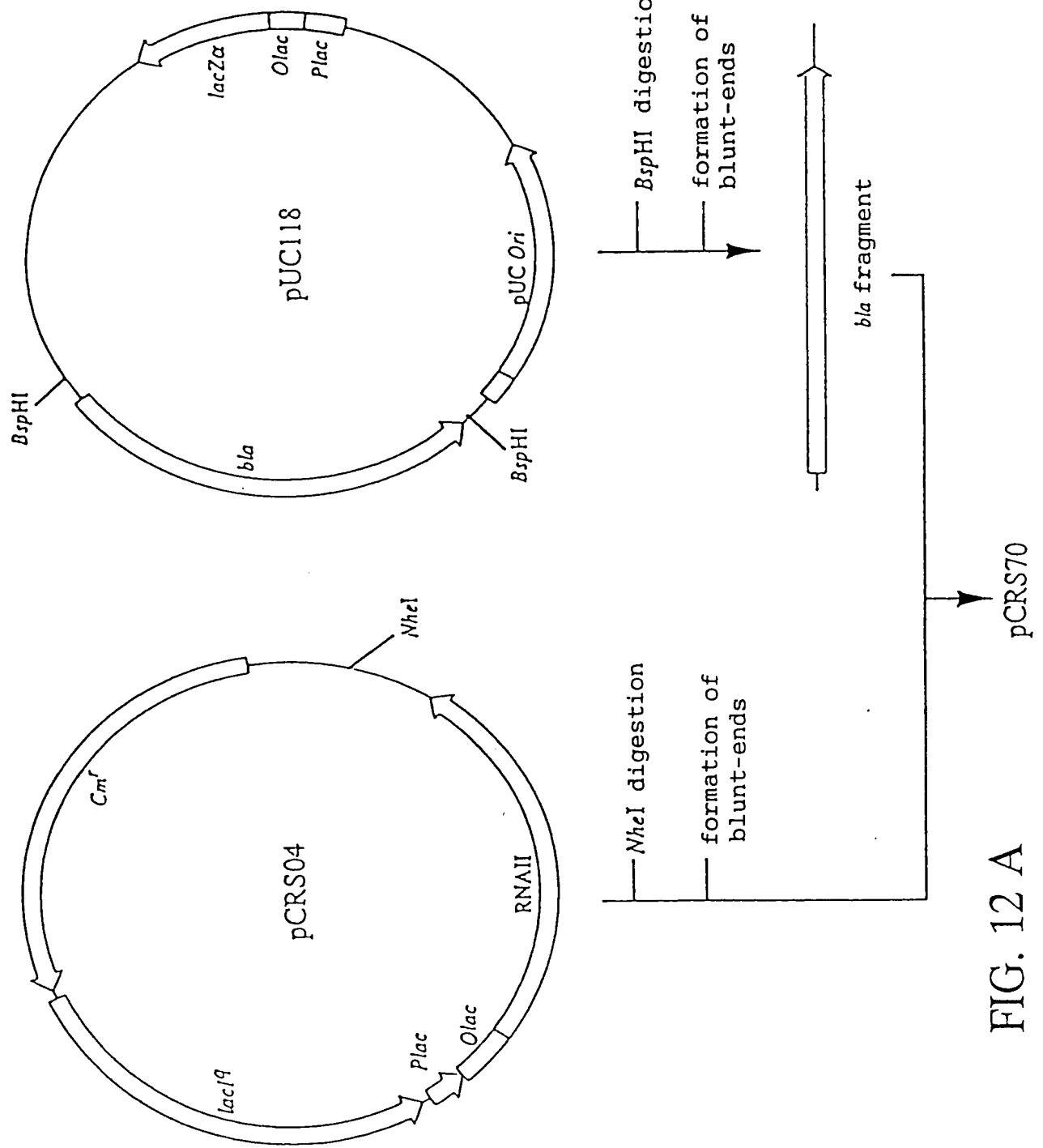


FIG. 12 A
pCRS70

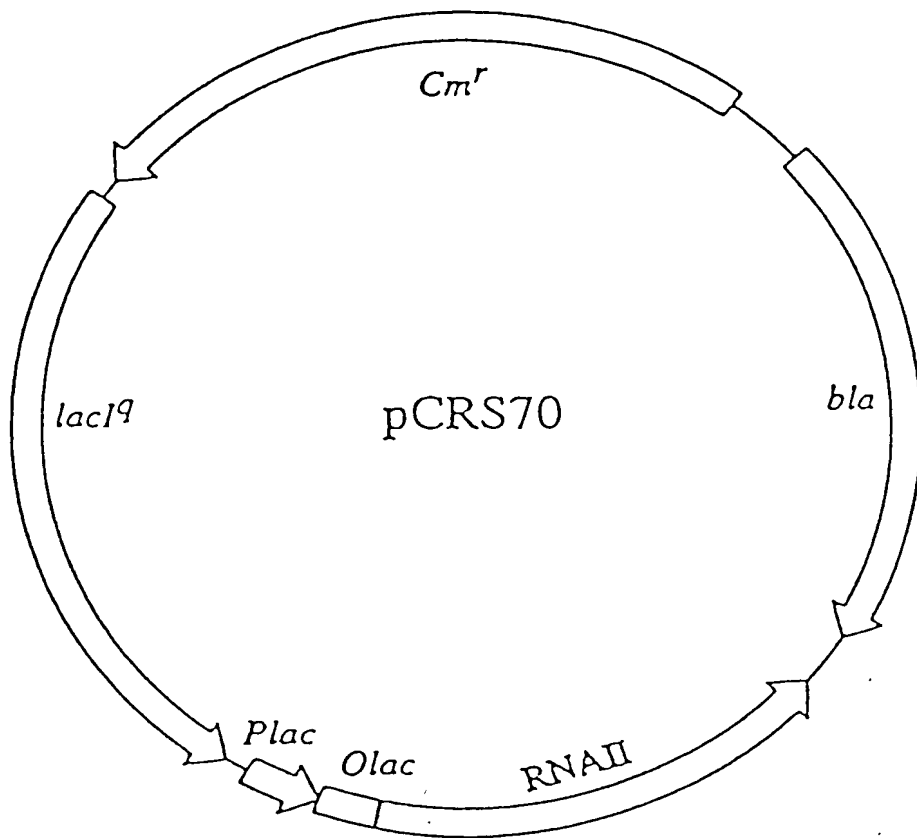


FIG. 12 B

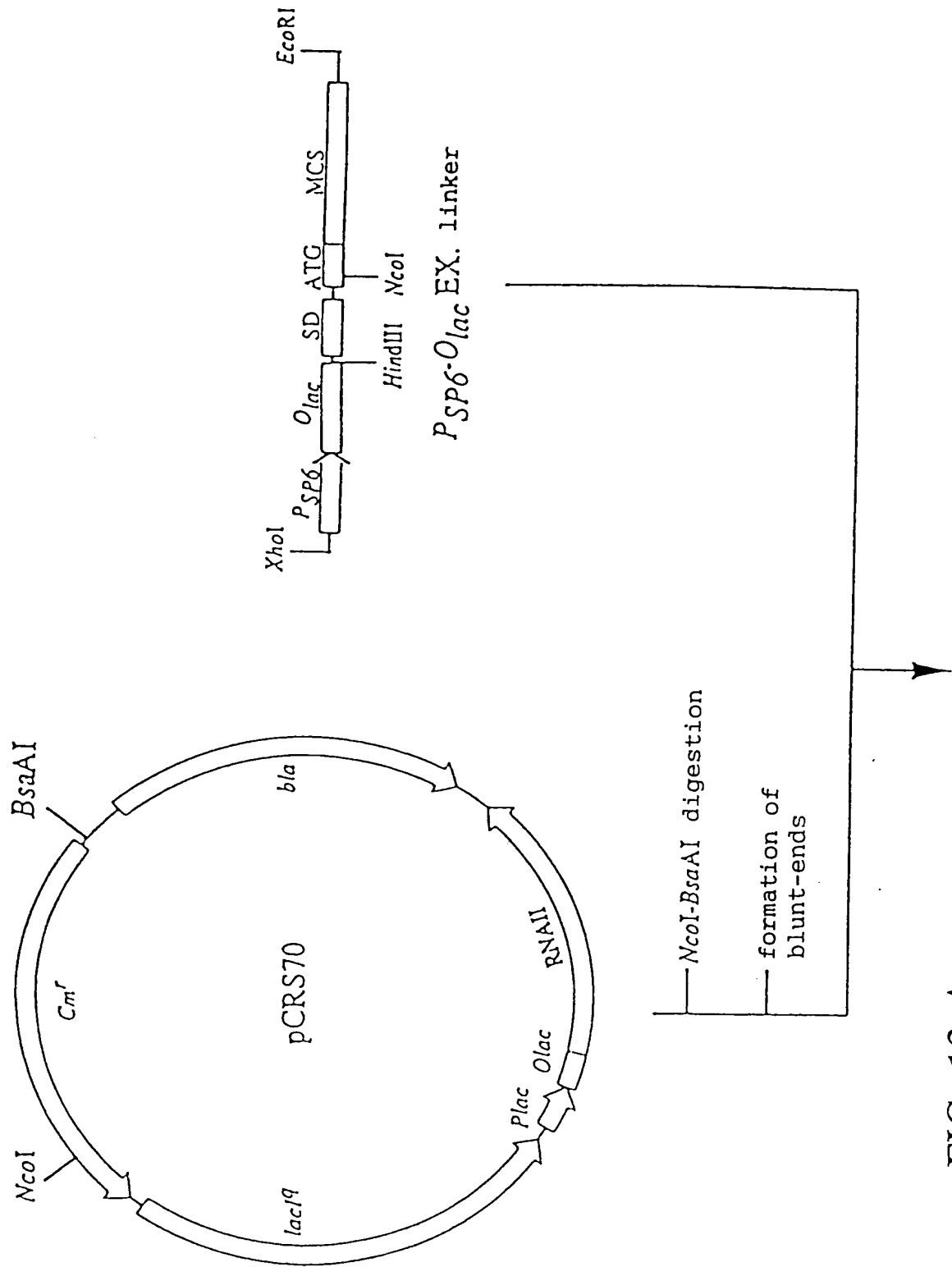


FIG. 13 A

PACE701 PACE702

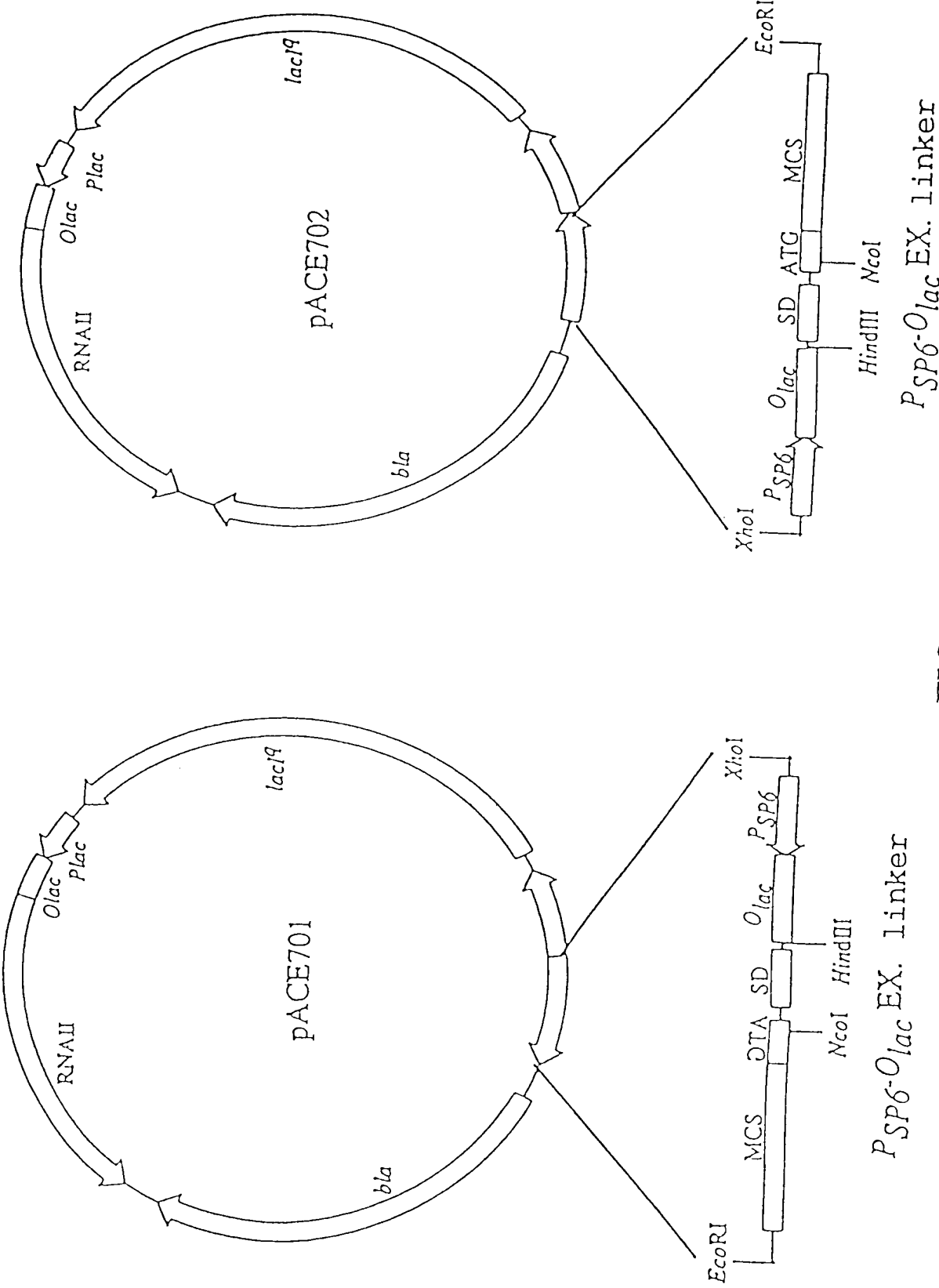


FIG. 13 B

Psp6-O_{lac} EX. linker

M 1 2 3 4 5 M

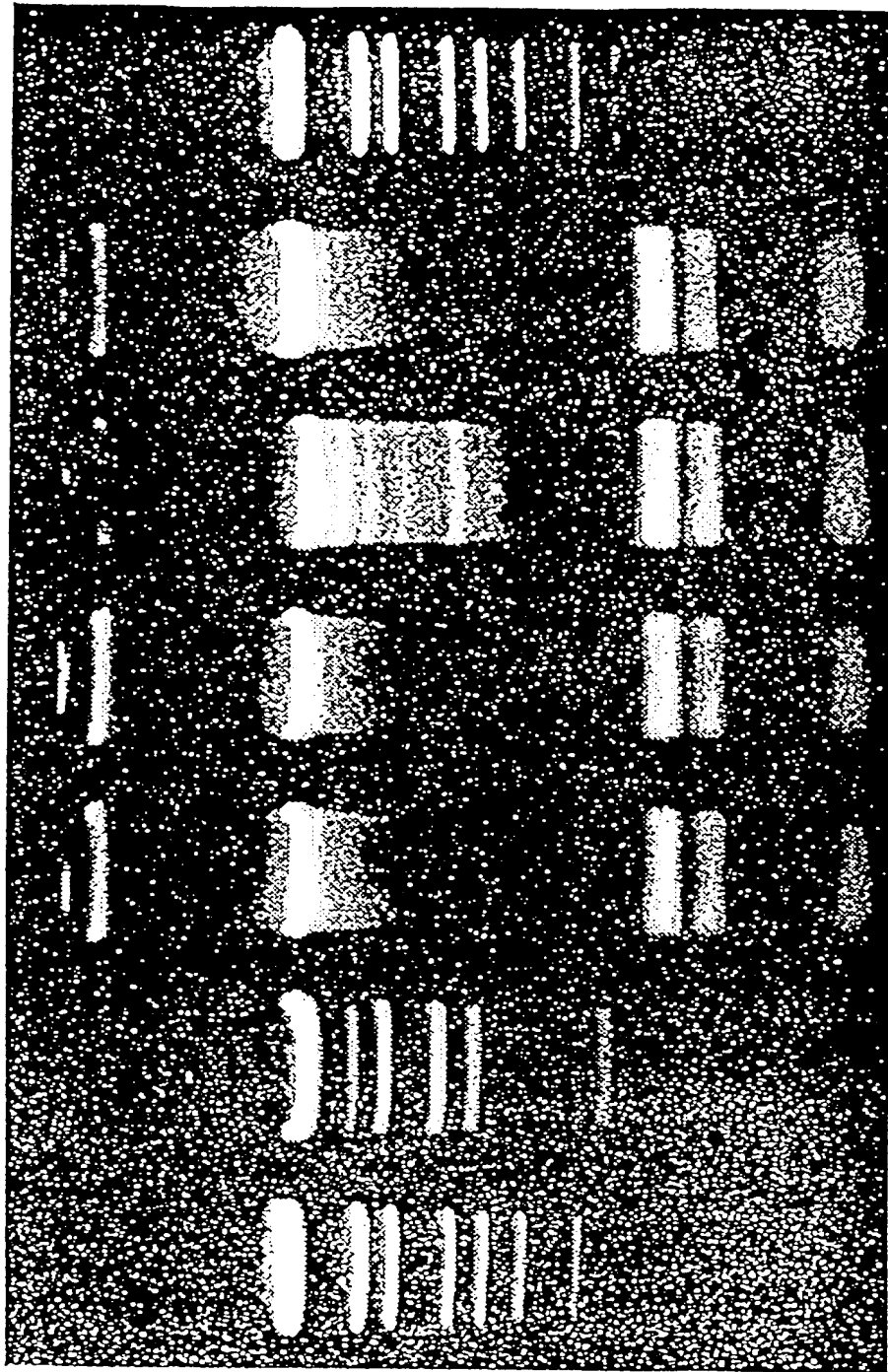


FIG. 14

M 1 2 3 4 5 6 7 8 9 10 11 12 13 M

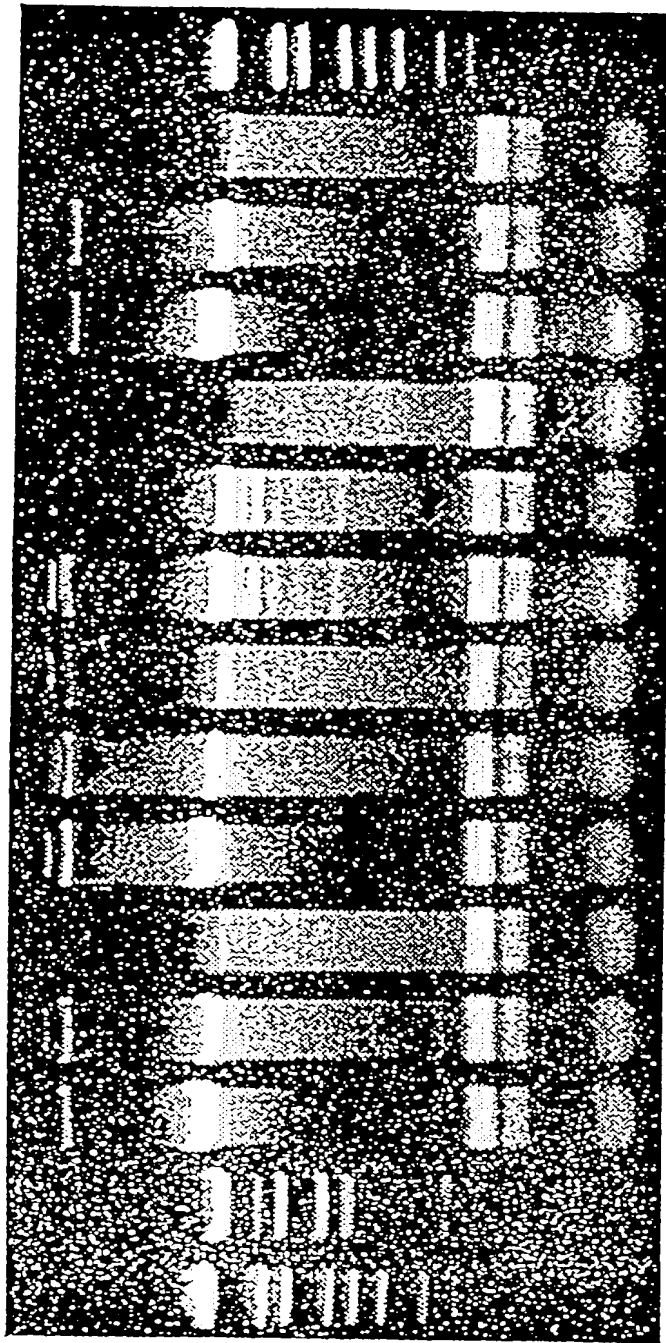


FIG. 15

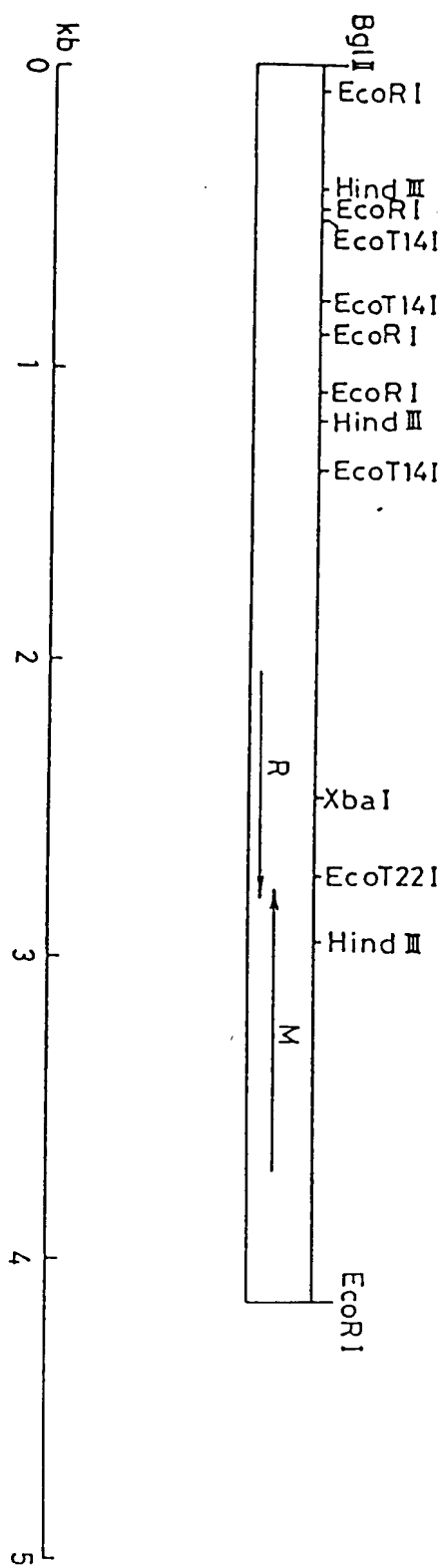


FIG. 16